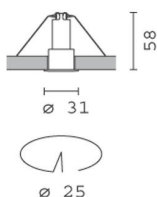


Produktkonfiguration: P310.01

P310.01: Runde, starre Mini-Einbauleuchte- LED -Medium - weiss



P310.01: Runde, starre Mini-Einbauleuchte- LED -Medium - weiss

Runde, starre Mini-Einbauleuchte mit Falzrahmen. Zurückgesetzte Position des LED-Moduls zur verminderten Direktblendung. Einbau-Korpus aus gedrehtem Aluminium, Innenring aus Thermoplast, erhältlich in verschiedenen lackierten oder metallbeschichteten Ausführungen. Optische, hochauflösende Linse aus PMMA - Medium (25°) LED 2700K mit hohem Farbwiedergabe-Index. Werkzeugfreier Zusammenbau. Versorgungseinheit mit getrenntem Code verfügbar.

Zum Einbau mittels Stahldraht-Federn in abgehängte Decken mit einer Mindestdicke 1 mm - Einbauöffnung Ø 25 mm

Gewicht (Kg)
0.03

Wandeinbauleuchte | Deckeneinbauleuchte

Konstantstromversorgungseinheiten mit getrenntem Code verfügbar. ON-OFF / dimmbar 1-10V / dimmbar DALI / dimmbar mit Phasenanschnitt

Für die Ausführungen E4 (weiß - Chrom) - 41 (weiß - Gold) - E9 (weiß - Mattgold) - E7 (weiß - chrom-brüniert) mit Optik 25° nicht lieferbar

Gemäß der Normen EN60598-1 u. Sondernormen



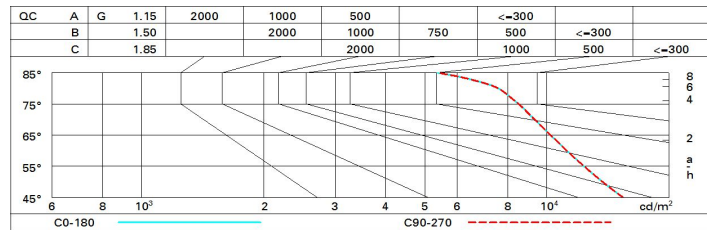
| | | | |
|---|------|-----------------------------------|---------------------------------|
| Im System: | 121 | CRI (minimum): | 90 |
| W System: | 2 | Farbtemperatur [K]: | 2700 |
| Im Lichtquelle: | 180 | MacAdam Step: | 2 |
| W Lichtquelle: | 2 | Lebensdauer LED 1: | > 50,000h - L80 - B10 (Ta 25°C) |
| Lichtausbeute (lm/W, Systemwert): | 60.3 | Lampencode: | LED |
| Im im Notlichtbetrieb: | - | Anzahl Lampen in Leuchtengehäuse: | 1 |
| abgegebener Lichtstrom bei/ über einem Winkel von 90° [lm]: | 0 | ZVEI-Code: | LED |
| Leuchtenbetriebswirkungsgrad 67 (L.O.R.) [%]: | | Anzahl Leuchtengehäuse: | 1 |
| Abstrahlwinkel [°]: | 24° | LED Strom [mA]: | 700 |

| | | | | | | |
|--|--|--|------------|--|--|--|
| | CIE nL 0.67 96-98-100-100-67 UGR 15.4-15.0 | | Lux | | | |
| | DIN A.61 | | | | | |
| | UTE 0.67A+0.00T F*1=956 F*1+F*2=985 F*1+F*2+F*3=997 | | | | | |
| | | | | | | |
| | | | | | | |

Wirkungsgrad

| R | 77 | 75 | 73 | 71 | 55 | 53 | 33 | 00 | DRR |
|------|----|----|----|----|----|----|----|----|-----|
| K0.8 | 59 | 56 | 53 | 52 | 55 | 53 | 53 | 50 | 75 |
| 1.0 | 62 | 59 | 57 | 55 | 58 | 56 | 56 | 54 | 80 |
| 1.5 | 65 | 63 | 61 | 60 | 62 | 61 | 60 | 58 | 86 |
| 2.0 | 68 | 66 | 64 | 63 | 65 | 64 | 63 | 61 | 91 |
| 2.5 | 69 | 68 | 67 | 66 | 67 | 66 | 65 | 63 | 94 |
| 3.0 | 70 | 69 | 68 | 67 | 68 | 67 | 66 | 64 | 96 |
| 4.0 | 71 | 70 | 70 | 69 | 69 | 68 | 67 | 66 | 98 |
| 5.0 | 71 | 71 | 70 | 70 | 70 | 69 | 68 | 66 | 99 |

Söller-Diagramm



UGR-Diagramm

| Corrected UGR values (at 180 lm bare lamp luminous flux) | | | | | | | | | | | |
|--|------|---------------------|------|------|------|------|-------------------|------|------|------|------|
| Reflect.: ceiling/cav walls work pl. Room dim x y | | viewed crosswise | | | | | viewed endwise | | | | |
| | | 0.70 | 0.70 | 0.50 | 0.50 | 0.30 | 0.70 | 0.70 | 0.50 | 0.50 | 0.30 |
| | | 0.50 | 0.30 | 0.50 | 0.30 | 0.30 | 0.50 | 0.30 | 0.50 | 0.30 | 0.30 |
| | | 0.20 | 0.20 | 0.20 | 0.20 | 0.20 | 0.20 | 0.20 | 0.20 | 0.20 | 0.20 |
| 2H | 2H | 12.8 | 14.8 | 13.1 | 15.1 | 15.5 | 12.8 | 14.8 | 13.1 | 15.1 | 15.5 |
| | 3H | 13.9 | 15.4 | 14.3 | 15.7 | 16.1 | 13.2 | 14.7 | 13.5 | 15.0 | 15.3 |
| | 4H | 14.4 | 15.6 | 14.8 | 15.9 | 16.3 | 13.3 | 14.5 | 13.7 | 14.8 | 15.2 |
| | 6H | 14.8 | 15.7 | 15.2 | 16.0 | 16.3 | 13.4 | 14.3 | 13.8 | 14.6 | 14.9 |
| | 8H | 14.9 | 15.8 | 15.3 | 16.1 | 16.5 | 13.4 | 14.3 | 13.8 | 14.6 | 15.0 |
| | 12H | 14.9 | 15.8 | 15.3 | 16.2 | 16.5 | 13.3 | 14.2 | 13.7 | 14.6 | 15.0 |
| 4H | 2H | 13.3 | 14.5 | 13.7 | 14.8 | 15.2 | 14.4 | 15.6 | 14.8 | 15.9 | 16.3 |
| | 3H | 14.7 | 15.5 | 15.1 | 15.9 | 16.3 | 15.0 | 15.9 | 15.4 | 16.2 | 16.6 |
| | 4H | 15.2 | 16.1 | 15.6 | 16.5 | 16.9 | 15.2 | 16.1 | 15.6 | 16.5 | 16.9 |
| | 6H | 15.4 | 17.0 | 15.8 | 17.4 | 17.9 | 15.1 | 16.7 | 15.5 | 17.1 | 17.6 |
| | 8H | 15.4 | 17.3 | 15.9 | 17.7 | 18.2 | 15.0 | 16.9 | 15.5 | 17.3 | 17.8 |
| | 12H | 15.4 | 17.3 | 15.9 | 17.8 | 18.3 | 15.0 | 16.9 | 15.5 | 17.3 | 17.9 |
| 8H | 4H | 15.0 | 16.9 | 15.5 | 17.3 | 17.8 | 15.4 | 17.3 | 15.9 | 17.7 | 18.2 |
| | 6H | 15.6 | 17.3 | 16.1 | 17.8 | 18.3 | 15.7 | 17.4 | 16.2 | 17.9 | 18.4 |
| | 8H | 15.8 | 17.3 | 16.3 | 17.8 | 18.3 | 15.8 | 17.3 | 16.3 | 17.8 | 18.3 |
| | 12H | 16.1 | 17.2 | 16.6 | 17.7 | 18.2 | 16.0 | 17.1 | 16.5 | 17.6 | 18.1 |
| 12H | 4H | 15.0 | 16.9 | 15.5 | 17.3 | 17.9 | 15.4 | 17.3 | 15.9 | 17.8 | 18.3 |
| | 6H | 15.6 | 17.1 | 16.2 | 17.6 | 18.2 | 15.8 | 17.3 | 16.3 | 17.8 | 18.3 |
| | 8H | 16.0 | 17.1 | 16.5 | 17.6 | 18.1 | 16.1 | 17.2 | 16.6 | 17.7 | 18.2 |
| Variations with the observer position at spacing: | | | | | | | | | | | |
| S = | 1.0H | 0.2 / -0.2 | | | | | 0.2 / -0.2 | | | | |
| | 1.5H | 0.3 / -0.6 | | | | | 0.3 / -0.6 | | | | |
| | 2.0H | 0.6 / -0.9 | | | | | 0.6 / -0.9 | | | | |